

SKALARNI TALASI NA BOSANSKIM PIRAMIDAMA!

Magnetotelurska i elektrodinamička istraživanja, septembar 2016, misija: "Bosanska dolina piramida", Visoko, BiH
(Delimični, najinteresantniji nalazi¹)

Merna oprema:

1. Teslametar TM 40 [H_{50Hz} , nT]
2. Trifield metar, 100XE [H , mG; E , V/m]
3. Digitalni multimetar Mastech MS8229 [T , °C; Hum , %; Noi , dBrel]
4. VF-Širokopojasni pojačavač, spec.konstr. mala težna, AskaAudio Beograd, "**E**"- sonda: štap antena, $l = 30$ cm;
"**H**"- sonda: otvorena zavojnica; "**M**"-zvučni senzor: "Knowles" Piezo Ceramic ST Microphone (BL series)
5. PC osciloskop OWON, VDS1022
6. Tablet računar I.Onik, Quad Core, Win 8.1
7. S-metar, Bedini verzija Dea/Faretto detectora, IB Mraz, [S_c , Ampl., % otklona]
8. Experimentalni merač životne energije, Heliognosis model LM3, [O_r , Opseg, Fino, Grubo, % otklon]

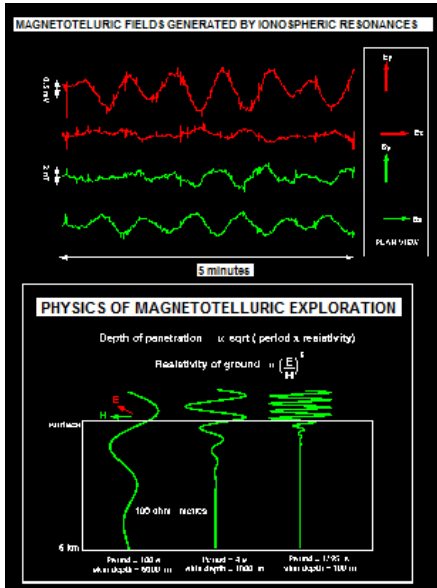
Napomena 1: EM spektri lagano variraju, signali su blago promenjive amplitude i frekvencije. Signali **koji potiču od merne opreme i uredjaja korišćenih tokom merenja su registrovani pre merenja na radnim tačkama.** VRMS vrednosti registrovane opremom 5 i 6 treba smatrati relativnim obzirom da je tokom merenja korištena oprema 4. U slučaju potrebe registrovane vrednosti mogu se izraziti i kao absolutne.

Merna Metoda: MT + merenje 3D strukture prostornih energetskih polja

Magneto Telurska (MT) i Audio Magneto Telurska (AMT) metoda [1] kombinovana sa merenjima u vazduhu korišćenjem DRON letelice [2] i specijalne opreme [Mer. Opr. 4,5,6] posebno konfigurisane za ovu vrstu istraživanja zbog ograničenja u težini (max. 800 gr) i velikih zahteva u pogledu osetljivosti merne opreme, širine mernog opsega, potrebe snimanja i registrovanja VRMS signala tokom leta te mogućnosti analize njihovih amplitudnih i frekventnih spektara (FFT). Svi ovi zahtevi ispunjeni su izborom odgovarajućeg hardvera i softvera pri čemu je ukupna težina opreme iznosila 788 grama, što je ispod dozvoljenog limita od 800 grama za korišteni model dron letelice.

Iako veoma složena, odbrana metoda omogućila je dobijanje 3-D strukture energetskih polja na odbranim lokacijama po vertikali do visine od oko 50 m i po horizontalnoj ravni prečnika od oko 150 m!

¹ Kompletna merenja se čuvaju u bazi podataka G.Marjanovic.



MT metodama snimaju se električna i magnetna polja u opsegu niskih i veoma niskih frekvencija (Infra zvuk-Audio-Ultra zvuk). Izvori MT i AMT signala mogu biti umjetni ili prirodni.

Solarna energija (Sunčev vetar) i munje (grom) izazivaju prirodne varijacije u zemljinom magnetnom polju, koje izazivaju električne struje (poznate kao telurske struje) ispod zemljine površine. Telurske (zemaljske) struje nastaju iz prirodnih i veštačkih izvora, uključujući i kretanje magme u zemljinoj unutrašnjosti i delovanje električne mreže i električnih uređaja. U kombinaciji, ove pojave stvaraju jak AMT/MT izvor signala u ULF / LF frekventnom spektru.

Magnetna polja u frekventnom opsegu od 1 Hz do približno 20 kHz su deo AMT opsega. Ovaj frekventni opseg omogućuje penetraciju do dubine od nekoliko metara do nekoliko kilometara ispod zemljine površine. Zbog prirode Magneto Telurskih izvora , talasi obično variraju u veličini amplitude. Zbog toga i niskog intenziteta signala potrebno je duže vreme snimanja da bi se dobili upotrebljivi podaci.

Merenja sa različitim lokacijama, iz više smerova, mogu jasno ukazati na različit odnos električnog magnetnog polja i njihovih međusobnih faza. Fazni pomeraj uzrokovani različitim brzinama propagacije, ukazuje na podzemne oblasti različite mehaničke, magnetne i električne provodljivosti, odnosno njenu anizotropiju i zapravo njenu strukturu!

Merenje u slobodnom prostoru omogućuje uvid u zapreminsku strukturu polja koja je posebno interesantna za lokacije na kojima su prethodno detektovani energetski fenomeni na tlu.

Merne veličine:

Tokom naših istraživanja vrše se snimanja elektromagnetičnih i mehaničkih energetskih spektara u širokom frekventnom opsegu od ekstremno niskih do srednjih frekvencija (25 mHz - 50 kHz) za električne i / ili magnetne fenomene. Merenje mehaničkih vibracija obuhvata oblast od infravuka, audio i ultrazvučnog domena. Za ova merenja koristili smo konvencionalne uređaje navedene pod brojem 1. do 6. na listi merne opreme. Za snimanje u vazduhu je zbog uslova ("buka", motora, magnetni smog) vršeno samo u "E" domenu.

Pored ovih merenja vršena je i detekcija prisutnosti skalarnog polja "S-metrom" (MerOpr. 7).

Istraživanja nekonvencionalnih energetskih polja, kao što je to npr. "Orgonska energija", vršena su posebnim uređajem za merenje alternativnih energetskih fenomena (MerOpr. 8) koji je namijenjen za naučna istraživanja životnih procesa.

Osim toga, na svakoj mernoj lokaciji mereni su kontrolni parametri: a) prisutnost i intenzitet "EM smoga" uzrokovanoj elektro-energetskom mrežom (50 Hz); snaga dinamičkih magnetnih (b), dinamičkih električnih (c) polja i snage radio talasa (d); temperatura (e), vlažnost (F) i nivo buke (G).

Kompletan dokumentacija sa svim snimcima merenja se čuva u mojoj bazi podataka , a u ovom radu predstavljeni

su samo najzanimljiviji nalazi kao ilustracija donetih zaključaka.

Merenja:

Lokacija 1: "Bosanska Piramida Sunca", 09.09.2016, 11.40 h.

Izmerene vrednosti:

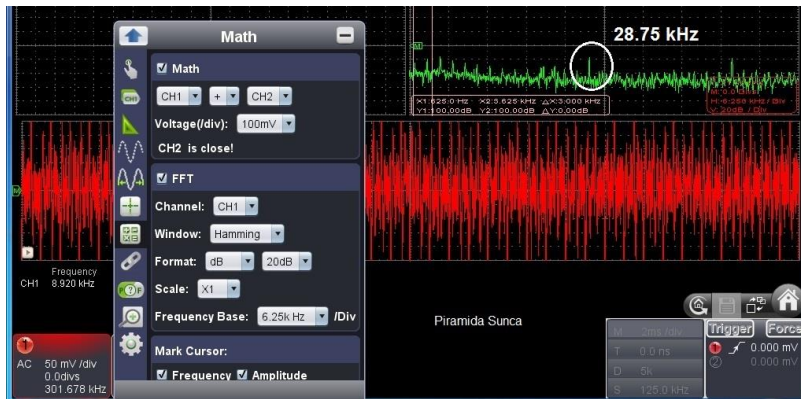
$H_{50\text{Hz}} = 7 \text{ nT}$, $H = 0.6 \text{ mG}$, $E = 25 \text{ V/m}$, $T = 25^\circ\text{C}$, $\text{Hum} = 24\%$, $\text{Noi} = -20 \text{ dBrel}$, $S_c = 10,1$; $O_r = 100,3,4, 86$

Napomena 1: U prvom letu softver dron letelice nije registrovao nikakve podatke a softver PC osciloskopa je registrovao samo 5 snimanja od zadatih 36. Za drugi let postoji "log fajl" drona ali su informacije o datumu i vremenu pogrešne. Softver osciloskopa registrovao je (capture file) samo 10 merenja. U trećem letu datum i vreme su pogrešni a snimljeno je 12 merenja.

Ovo je bio razlog da odustanemo od daljih letova na ovoj lokaciji.

Uzrok tehničkih problema nam nije poznat ali pretpostavljamo da su oni posledica prisustva suptilnih energetskih formi i specifičnosti ambijentalnog polja na što ukazuje relativno visok nivo ($O_r=86$) orgonske energije izmeren (Eq.8, LM 3) na ovoj lokaciji.

Karakteristični spektri:

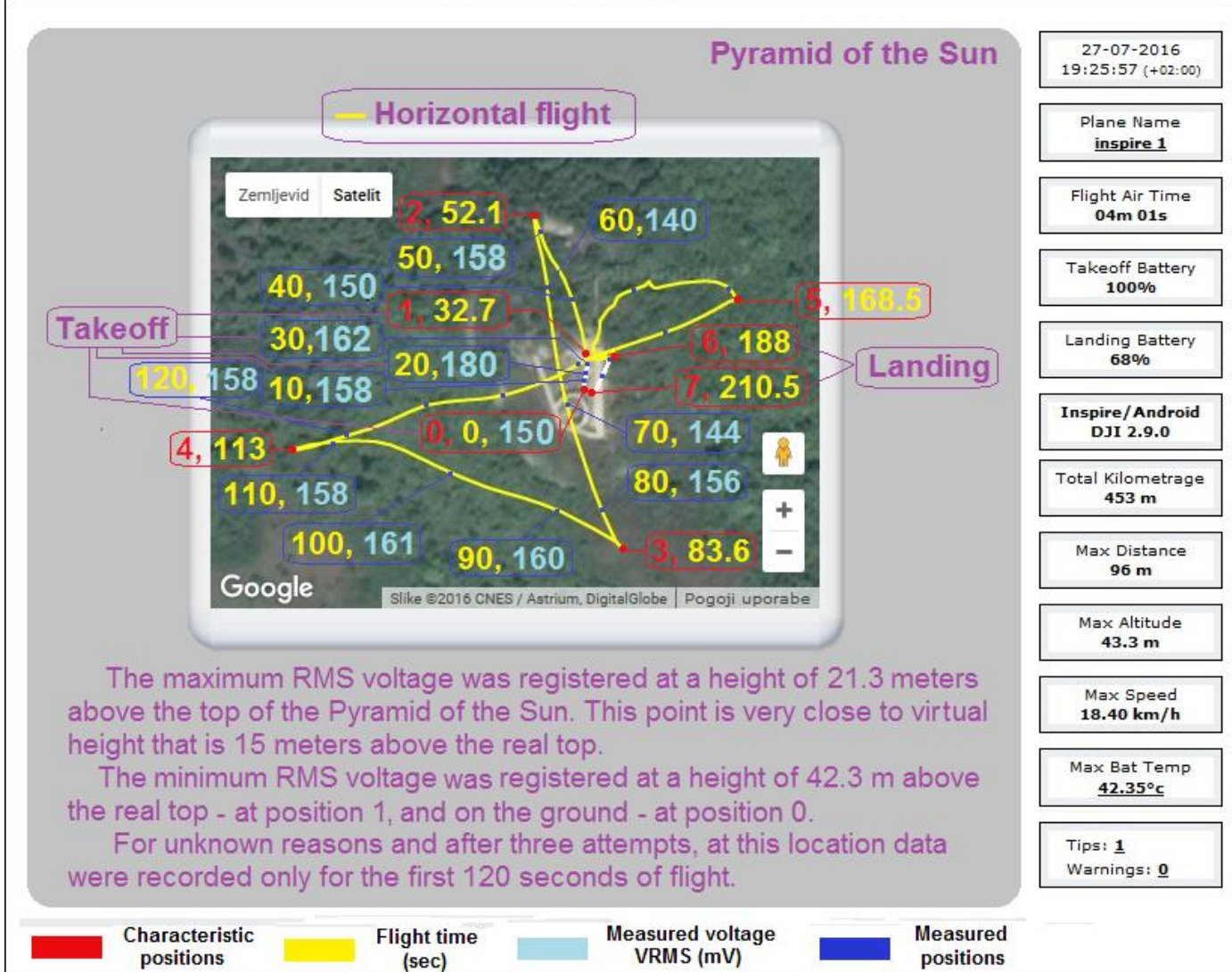


Sl.1. M T signal registrovan na tlu - u centru energetskog snopa.



Sl. 2. "E" signal registrovan na 43.3 m iznad Piramide Sunca

Pyramid of the Sun



The maximum RMS voltage was registered at a height of 21.3 meters above the top of the Pyramid of the Sun. This point is very close to virtual height that is 15 meters above the real top.

The minimum RMS voltage was registered at a height of 42.3 m above the real top - at position 1, and on the ground - at position 0.

For unknown reasons and after three attempts, at this location data were recorded only for the first 120 seconds of flight.

Sl.3. - 3D struktura energetskog polja iznad Piramide Sunca

Analiza merenja ambijentalnih polja na lokaciji 1, "Bosanska Piramida Sunca":

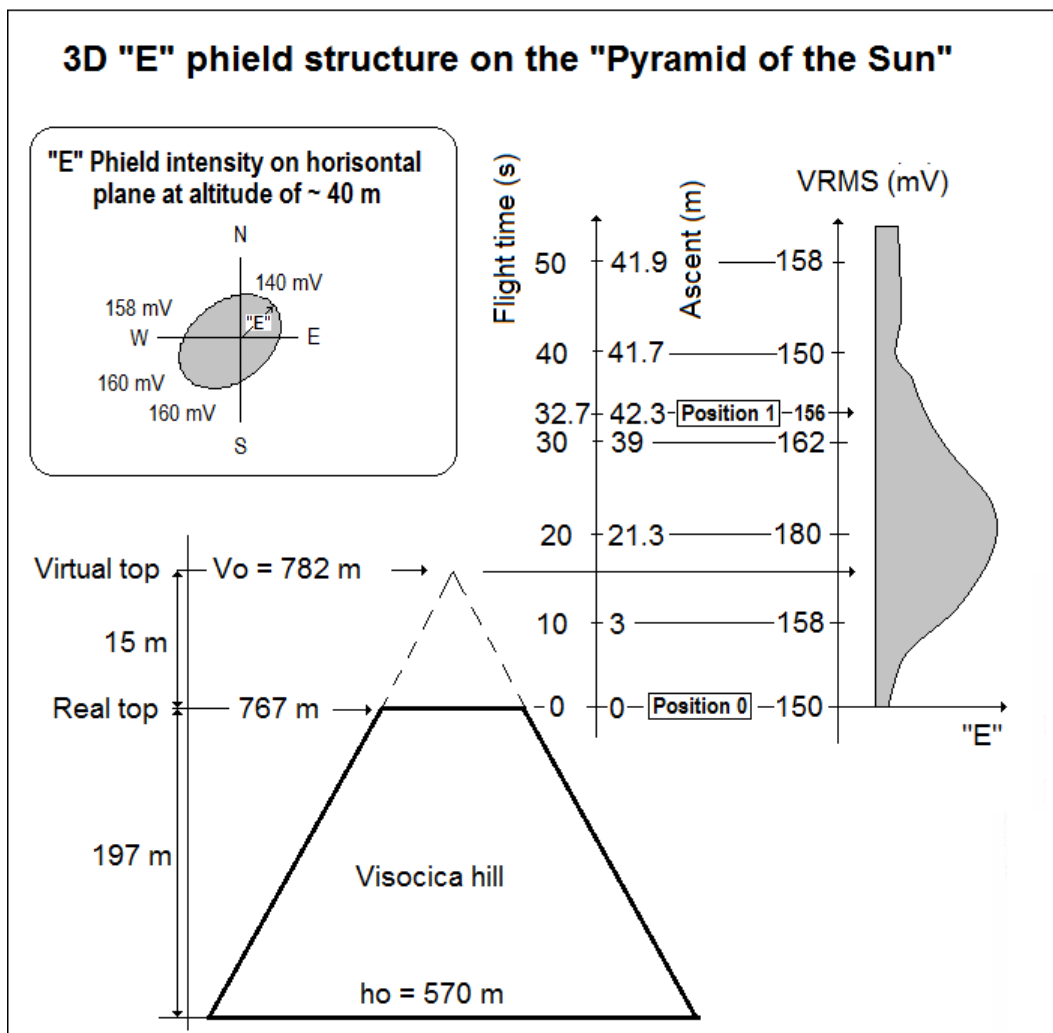
- Experimentalni merač životne energije (Eq.8, LM 3) pokazao je na ovoj lokaciji visok nivo orgonske energije ($O_r = 86$) što je za 43 % (=86/60) više od prosečnog nivoa.

Signal "E" polja registrovan na vrhu Piramide Sunca, na tlu, prikazan je na slici 1 i analogan je snimcima registrovanim tokom prethodnih istraživanja [3] na ovoj lokaciji.

Na slici 2 prikazan je snimak signala "E" polja u horizontalnom letu registovan na visini od 43.3 m u devedesetoj sekundi leta. Zabeležena vrednost VRMS (srednja vrednost / "kvadratna sredina") na ovom "mestu" (vidi sl.3, sl.4 ili prilog 1) je 156 mV, što je vrednost veoma bliska vrednosti izmerenoj na tlu u poziciji 0, vreme leta 0 sekundi, od 150 mV. Veoma je interesantno da je tokom poletanja (pozicije od 0 do 1) registrovana vrednost "E" polja rasla sa visinom a zatim opadala do vrednosti bliske onoj koju je imala na poziciji 0. Detaljniji prikaz promene registrovanih vrednosti dat je na slici 4, dole, gde se jasno vidi da je registrovani intenzitet polja najveći u 20-toj sekundi leta, tokom uzletanja, pri dostignutoj visini od oko 21.3 metra. Isto tako, analiza registrovanih vrednosti VRMS tokom horizontalnog leta, na visini od oko 40 m, pokazuje blago povećane vrednosti u zoni jug-jugozapad što ukazuje da "Energetski snop" nije vertikalnan nego je malo nagnut u smeru jug-jugozapad.

Sintezom registrovanih vrednosti i analizom raspodele intenziteta "E" polja u vertikalnoj i horizontalnoj ravni možemo zaključiti da energetsko polje iznad Bosanske piramide Sunca ima oblik izduženog, nepravilnog elipsoida sa najvećom gustinom energije na visini bliskoj virtuelnoj visini piramide, blago nagnutog u smeru jug-jugozapad.

Detaljniji podaci trajektorije leta i registrovanih vrednosti (GPS koordinate, visina, brzina, udaljenost M.T., vreme leta, VRMS na konkretnim pozicijama, komentari), za ovu lokaciju dati su u prilogu 1.



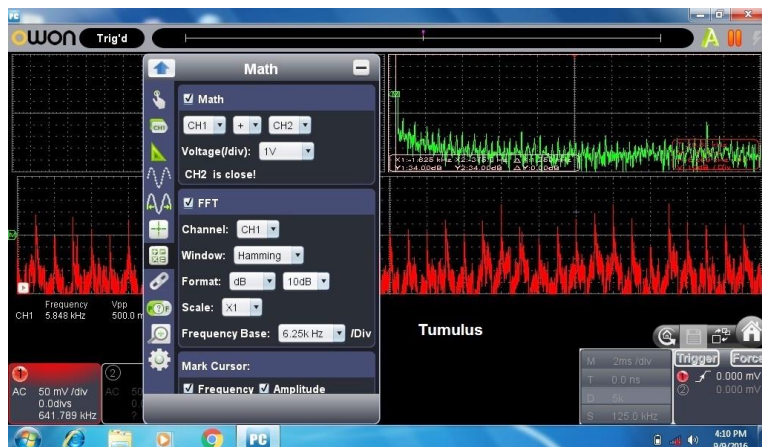
Sl.4 3D struktura "E" polja na Piramidi Sunca

Lokacija 2: Tumulus u Vratnici, 09.09.2016, 15.55 h.

Izmerene vrednosti:

$H_{50Hz} = 8 \text{ nT}$, $H = 0.6 \text{ mG}$, $E = 25 \text{ V/m}$, $T = 26.5 \text{ }^{\circ}\text{C}$, $\text{Hum} = 10 \%$, $\text{Noi} = -30 \text{ dBrel}$, $S_c = 10.1$; $O_r = 100, 3.1, 85$

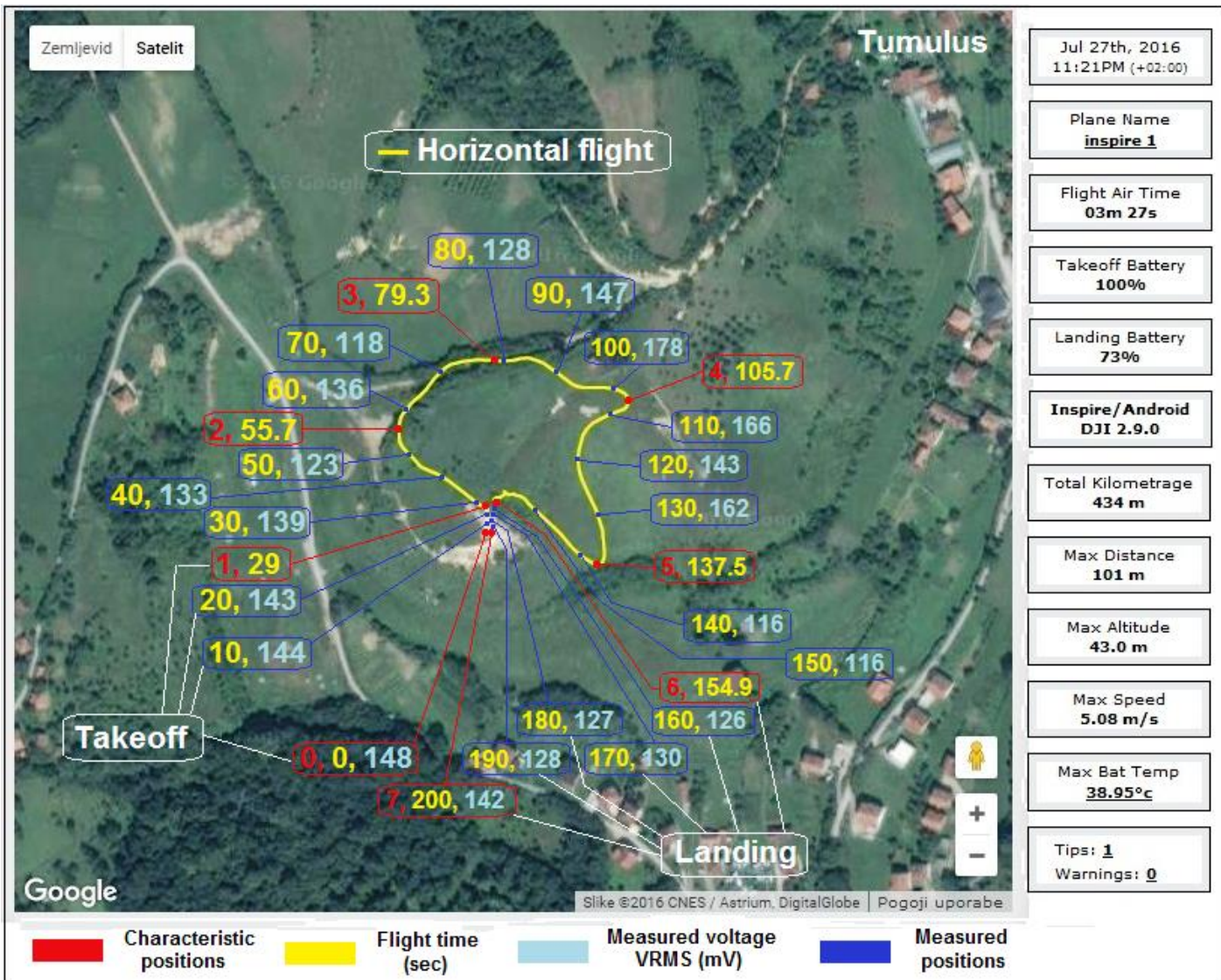
Karakteristični spektri:



Sl.5. M.T. signal registrovan na vrhu Tumulusa



Sl.6. "E" signal registrovan na 43 m iznad Tumulusa



S.7. 3D struktura energetskog polja iznad Tumulusa

Analiza merenja ambijentalnih polja na lokaciji 2, "Tumulus u Vratnici":

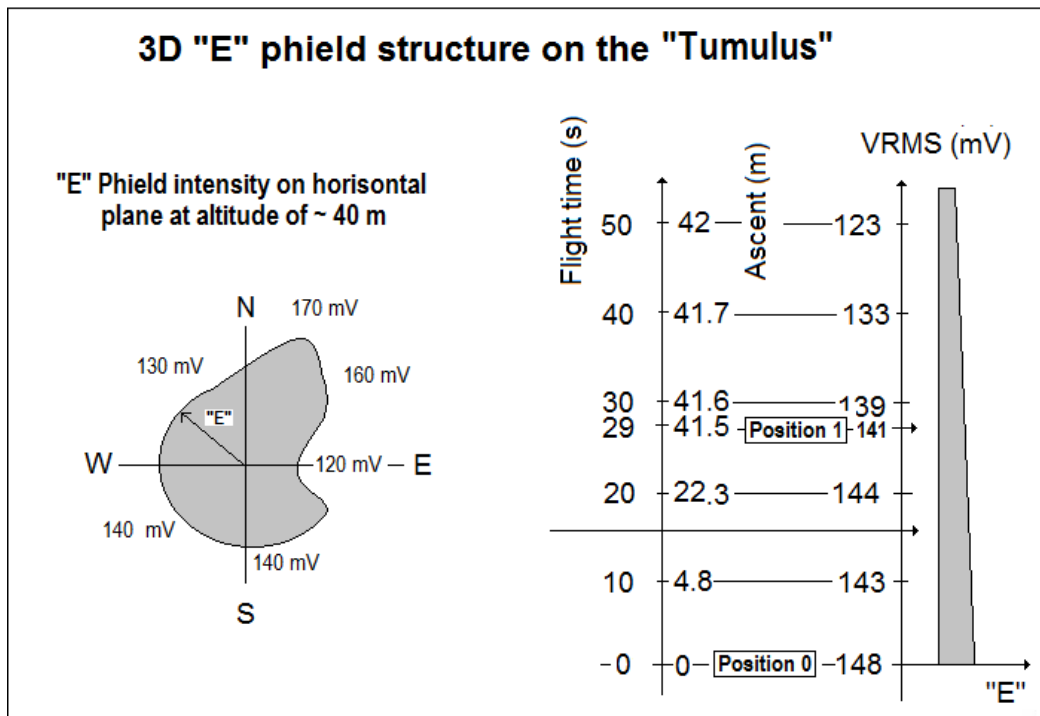
- Izmerena vrednost "EM smoga" uzrokovana energetskom mrežom 50 Hz (Eq.1) $H_{50Hz} = 8 \text{ nT}$ je neznantno viša od uobičajene (4-5 nT) ali ipak zanemarive vrednosti. Izvor je najverovatnije vazdušni električni vod udaljen nekoliko desetina metara.
- Experimentalni merač životne energije (Eq.8, LM 3) pokazao je na ovoj lokaciji veoma visok nivo orgonske energije ($O_r = 100$) koji je za 66 % (=100/60) veći od uobičajenog nivoa.

Na slici 5 koja prikazuje signal registrovan na vrhu Tumulusa (na tlu) mogu se uočiti nešto naglašeniji signali frekvencije 22 i 25.6 i 28.7 kHz što je saglasno sa prethodnim merenjima [3] na ovoj lokaciji. Na slici 6 prikazan je snimak signala "E" polja u horizontalnom letu registovan na visini od 43 m u četrdesetoj sekundi leta. Zabeležena vrednost VRMS na ovom "mestu" (vidi sl.7, sl. 8 ili prilog 2) je 133 mV, što je vrednost bliska srednjoj vrednosti tokom čitavog leta uključujući uzletanje i sletanje..

Inače, za razliku od vrednosti registrovanih na lokaciji 1, ovde nisu uočljive veće promene registrovanih vrednosti VRMS i one blago variraju kako tokom uzletanja i sletanja tako i tokom horizontalnog leta. Ipak nešto veća promena može se uočiti u severoistočnoj i istočnoj oblasti trajektorije. Detaljniji prikaz promene registrovanih vrednosti tokom vertikalnog leta dat je na slici 8, dole, gde se vidi da je polje na visini od oko 43 m nešto slabije u severo-istočnom delu i minimalno u istočnom delu trajektorije. Uzimajući u obzir realnu konfiguraciju terena očito je da struktura "E" polja snimljena u fazi horizontalnog leta sledi formu, oblik i strukturu terena. Vrednosti VRMS snimljene tokom vertikalne faze leta (uzletanje, sletanje) na ovoj lokaciji ne pokazuju

anomalije kakve su zabeležene na lokaciji 1, "Bosanske piramide Sunca".

Detaljniji podaci trajektorije leta i registrovanih vrednosti (GPS koordinate, visina, brzina, udaljenost M.T., vreme leta, VRMS na konkretnim pozicijama, komentari), za ovu lokaciju dati su u prilogu 2.



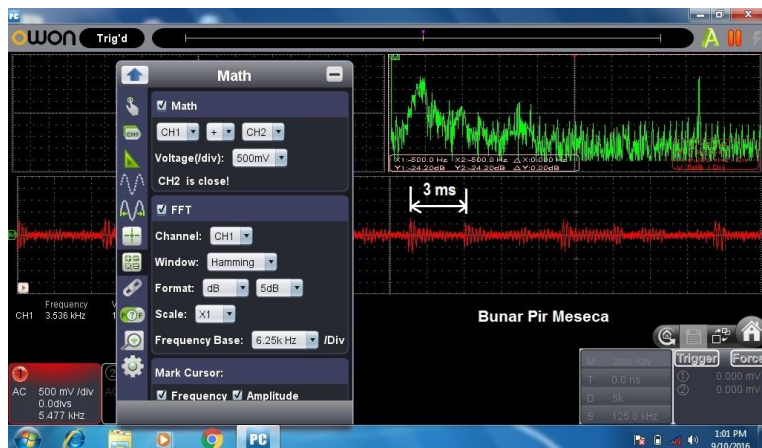
Sl.8 3D struktura "E" polja na Tumulusu

Lokacija 3: "Bosanska Piramida Meseca", 10.09.2016, 12.05 h.

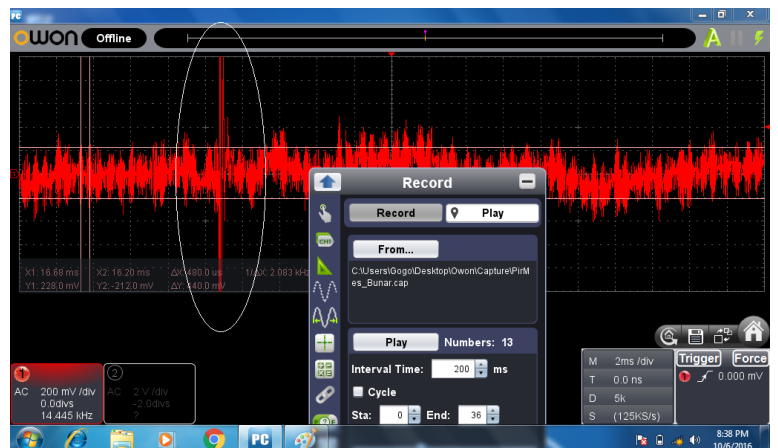
Izmerele vrednosti:

$H_{50Hz} = 5 \text{ nT}$, $H = 0.7 \text{ mG}$, $E = 18 \text{ V/m}$, $T = 28^\circ\text{C}$, $\text{Hum} = 10\%$, $\text{Noi} = -16 \text{ dBrel}$, $S_c = 10,1$; $O_r = 100,3,3, 65$

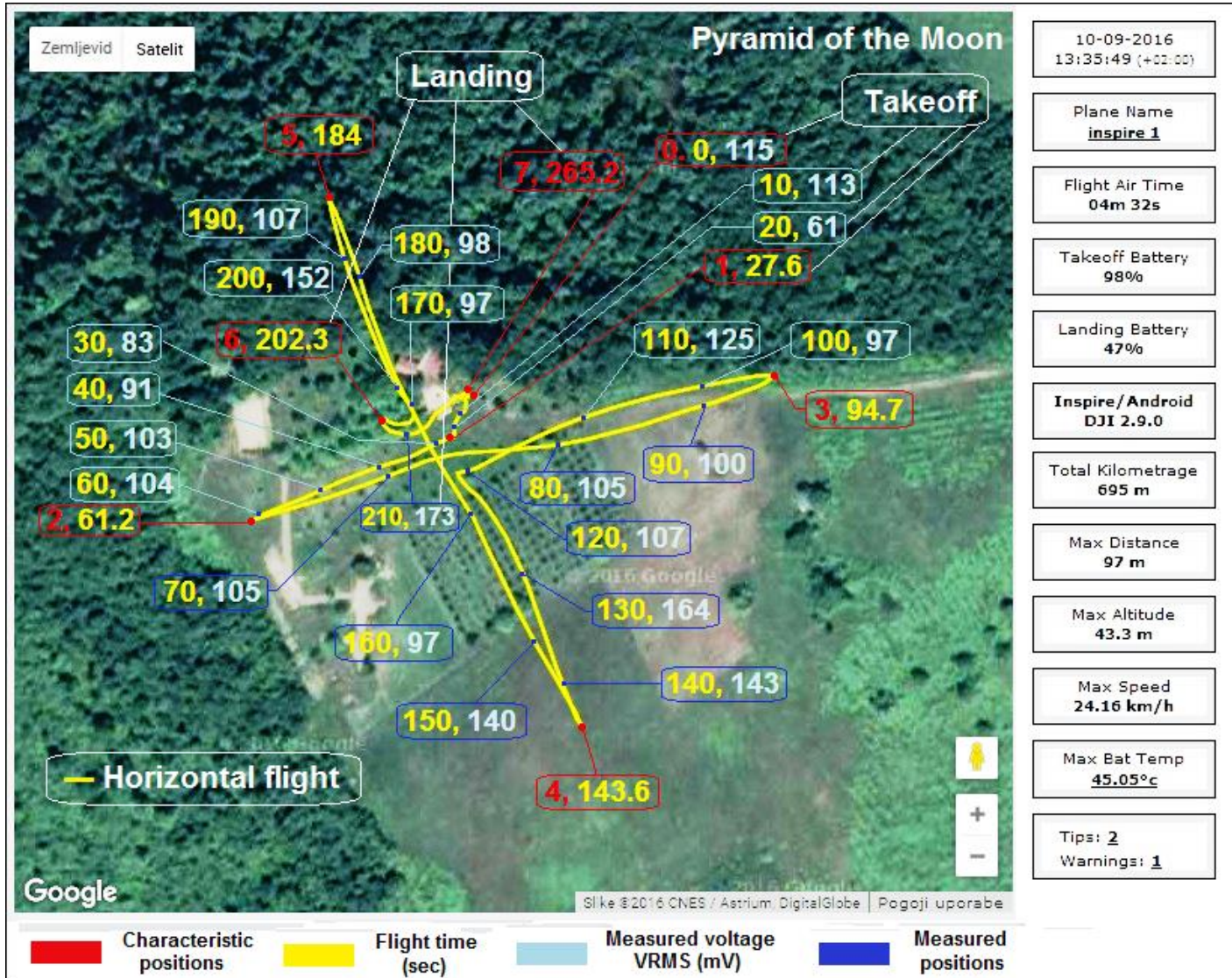
Karakteristični spektri:



Sl.9. M.T. signal registrovan na vrhu Piramide Meseca u "Bunaru"



Sl.10. "E" signal registrovan 43 m iznad Piramide Meseca



S.11. 3D struktura energetskog polja iznad Piramide Meseca.

Analiza merenja ambijentalnih polja na lokaciji 3, "Bosanska Piramida Meseca":

- Sve izmerene veličine su u granicama vrednosti uobičajenih za ne-urbane sredine.

Na slici 9 koja prikazuje signal registrovan na vrhu Piramide Meseca, u „bunaru”, mogu se uočiti signali frekvencije 21.8, 23.7 i nešto manje naglašen signal od 28.1 kHz što je saglasno sa prethodnim merenjima na ovoj lokaciji [3]. Na snimku amplitudnog spektra prikazanog crvenom bojom vidi se vrlo neobičan signal sa periodom od oko 3 ms. Obzirom da na ovoj lokaciji nema električne mreže niti bilo kakvih uredjaja osim korištene opreme koja takav signal ne generiše, njegov nam je izvor nepoznat pa imajući to u vidu kao i oblik registrovanog signala, možemo ga smatrati kuriozitetom. Na slici 10 prikazan je snimak signala "E" polja u horizontalnom letu registrovan na visini od 43 m u 140-toj sekundi leta. Zabeležena vrednost VRMS na ovom "mestu" (vidi sl.11, sl. 12 ili prilog 3) je 143 mV, što je vrednost znatno iznad srednje vrednosti tokom horizontalnog leta (~105 mV).

Na specifičnost ove lokacije ukazuje i vrlo kratak (~150 microsec) i intenzivan signal (u belom krugu) koji nije registrovan na ostalim snimcima tokom merenja na ovoj lokaciji.

Na ovoj lokaciji, za razliku od vrednosti registrovanih na lokaciji 2, slično kao i na lokaciji 1, uočljive su veće promene registrovanih vrednosti VRMS i one variraju kako tokom uzletanja i sletanja tako i tokom horizontalnog leta.

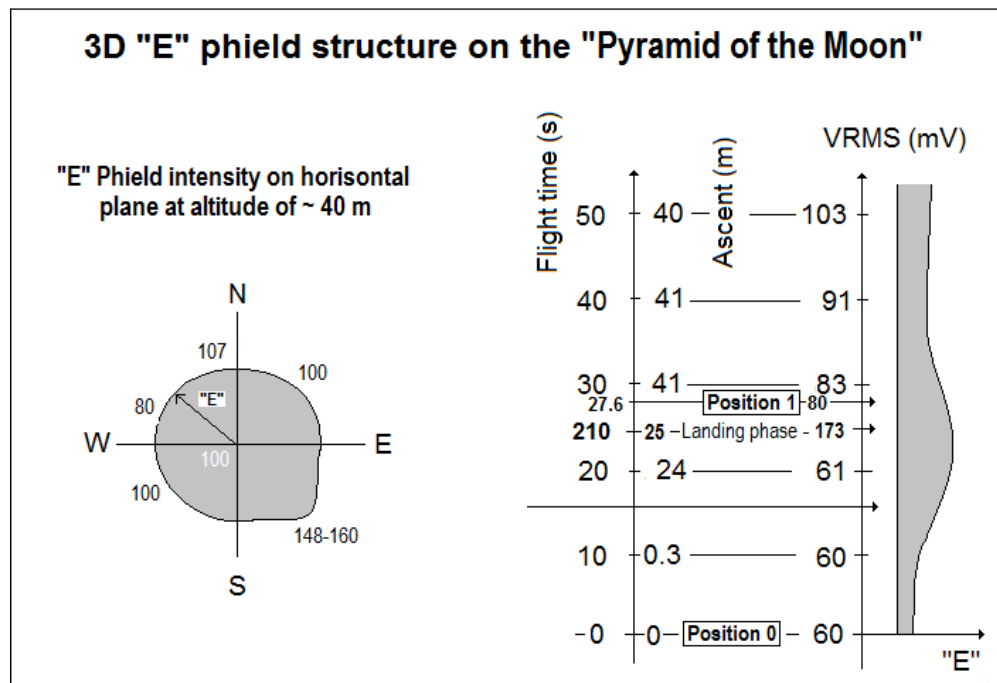
Za ovu lokaciju karakterističan je porast intenziteta "E" polja sa povećanjem visine. Isto tako, veći porast intenziteta "E" polja tokom horizontalnog leta može se uočiti u jugoistočnoj oblasti trajektorije što daje sliku strukturno sličnu onoj koja zabeležena na lokaciji 1.

Detaljniji prikaz registrovanih vrednosti tokom leta dat je na slici 11 ili u tabeli-prilog 3, kao i na uproštenom prikazu na sl.12, gde se vidi da "E" polje na visini od oko 43 m ima prosečnu vrednost oko 100 mV i da je znatno jače u oblasti koja odgovara vremenu leta od oko 130. do 140. sekunde (164 mV). Isto tako, iz registrovanih podataka vidi se da "E" polje ima znatno povećanu vrednost (173 mV) u tački koja odgovara 210. do 220. sekundi leta, tj. fazi sletanja, odnosno visini od oko 25 metara iznad merne tačke.

Ovakva struktura "E" polja nije korelativna sa konfiguracijom tla kao na lokaciji 2, potpuno je "ne-standardna" i analogna je strukturi "E" polja registrovanoj na lokaciji 1.

Analiza registrovanih vrednosti VRMS pokazuje povećane vrednosti u jugoistočnoj zoni horizontalnog dela trajektorije i na visini od oko 25 m iznad merne tačke što ukazuje da "Energetsko polje" ima elipsoidnu formu malo nagnutu u smeru jugoistoka.

Detaljniji podaci trajektorije leta i registrovanih vrednosti (GPS koordinate, visina, brzina, udaljenost M.T., vreme leta, VRMS na konkretnim pozicijama, komentari), za ovu lokaciju dati su u prilogu 3.



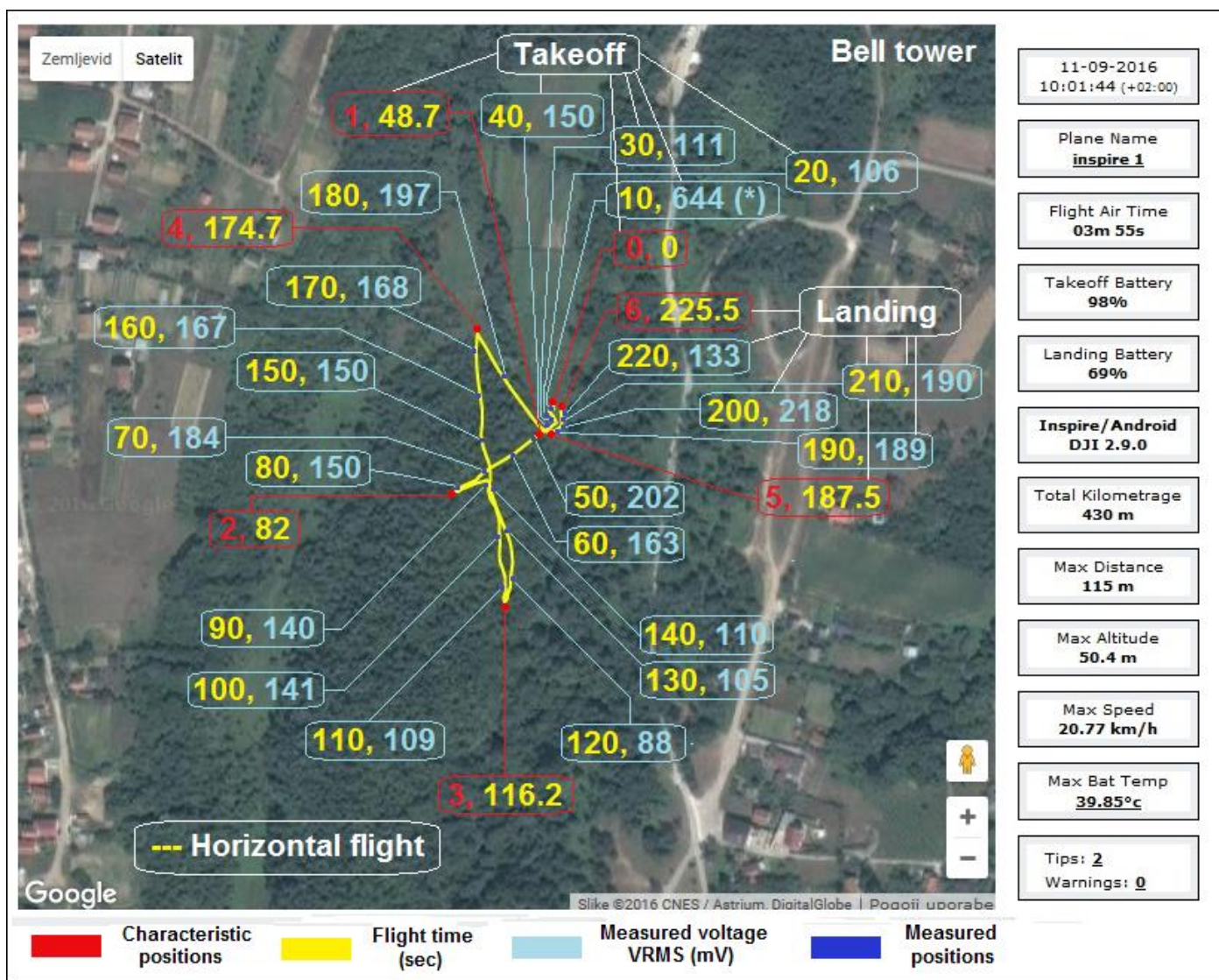
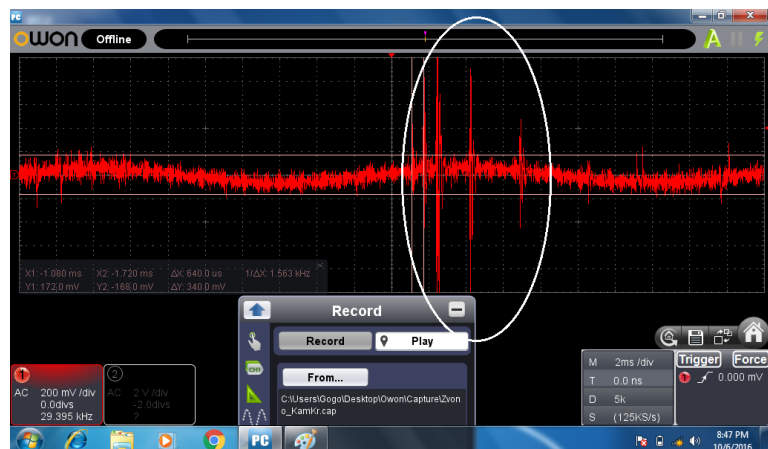
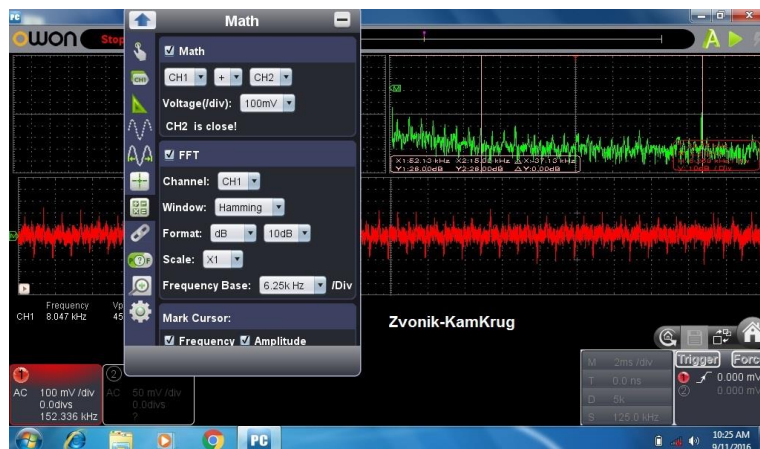
Sl.12 3D struktura "E" polja na Tumulusu

Lokacija 4: "Zvonik / Koncentrični kameni krugovi – Pojačavač aure", 11.09.2016, 10.15 h.

Izmerene vrednosti:

$H_{50Hz} = 8 \text{ nT}$, $H = 0.7 \text{ mG}$, $E = 25 \text{ V/m}$, $T = 24.2 \text{ }^{\circ}\text{C}$, $\text{Hum} = 24 \text{ \%}$, $\text{Noi} = -20 \text{ dBrel}$, $S_c = 10,1$; $O_r = 100,3,3$, **90**

Karakteristični spektri:



Analiza merenja ambijentalnih polja na lokaciji 4, "Pojačavač aure - Zvonik":

- Izmerena vrednost "EM smoga" uzrokovana energetskom mrežom 50 Hz (Eq.1) $H_{50\text{Hz}} = 8 \text{ nT}$ je neznantno viša od uobičajene (4-5 nT) ali ipak zanemarive vrednosti. Izvor je najverovatnije neki od podzemnih električnih vodova.

- Experimentalni merač životne energije (Eq.8, LM 3) pokazao je na ovoj lokaciji veoma visok nivo orgonske energije ($O_r = 90$) koji je za 50 % (=90/60) veći od uobičajenog nivoa.

Na slici 13 koja prikazuje signal registrovan na tlu, u centru „Pojačavača aure“ pored „Zvonika“, mogu se uočiti nešto naglašeniji signali frekvencije 21.25, 27.5 i 29.3 kHz što je u skladu sa prethodnim merenjima na lokaciji „Zvonik, 3-ći otvor“, od 17.06.2016. [3]. Na slici 14 prikazan je snimak signala „E“ polja u toku uzletanja na visini od oko 25 m iznad Merne Tačke (pozicija 0 i 6) odnosno 8 m od vrha Zvonika u četrdesetoj sekundi leta. Zabeležena vrednost VRMS na ovom „mestu“ (vidi sl.15, sl. 16 ili prilog 4) je 150 mV, što je vrednost bliska vrednostima „E“ polja registrovanog tokom horizontalnog leta u oblasti zapadno od vertikale na vrh „Zvonika“. Na ovom snimku, može se uočiti niz vrlo kratkih i intenzivnih impulsa (u belom krugu) koji nisu registrovani na ostalim snimcima tokom merenja na ovoj lokaciji. Njihov izvor nije nam poznat.

Prostorna struktura energetskog polja na ovoj lokaciji, prikazana na sl. 16, veoma je slična onoj koja je registrovana na lokaciji 1 i prikazana na sl. 4, s tim što je na sl. 16 ilustrovana promena polja i tokom uzletanja i tokom sletanja.

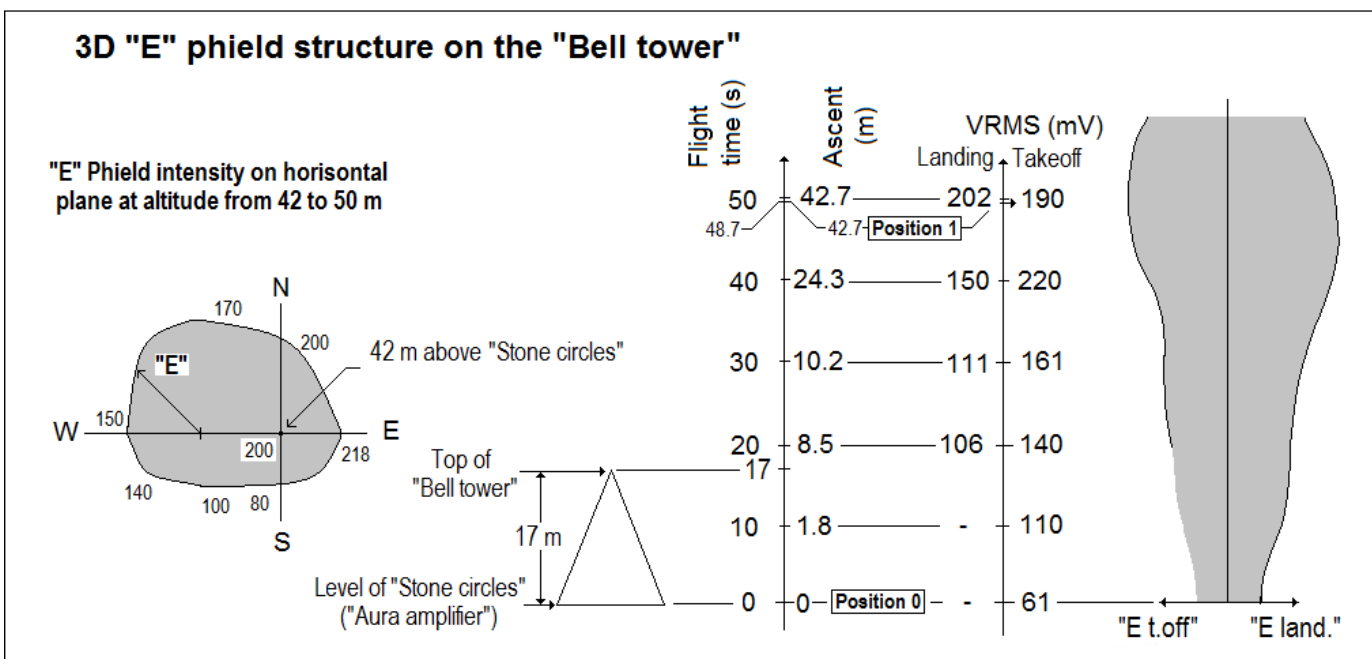
U svakom slučaju, registrovane vrednosti ukazuju na sličnu fenomenologiju kakva je zabeležena i na Piramidi Sunca. VRMS vrednosti registrovane tokom uzletanja i sletanja znatno variraju i ukazuju na promenu jačine polja po vertikali kao i prilikom horizontalnog leta na visini od 42 do 50 m iznad M.T. (pozicija 0 i 6) kako je to prikazano na trajektoriji leta, sl. 15, kao i na šematskom prikazu strukture polja na sl 16. i u tabeli vrednosti Prilog 4.

Sasvim je očito da energetsko polje na ovoj lokaciji ima minimalnu vrednost u „Mernoj tački“ na tlu (Pos. 0 i 6), u podnožju „Zvonika“ a zatim raste sa visinom i dostiže maksimalnu vrednost od 220 mV u oblasti iznad vrha „Zvonika“ na visini od oko 30 m iznad M.T. (pos. 0 i 6), odnosno 13 m iznad vrha Zvonika, a zatim opada (sa visinom) do vrednosti od oko 190 mV na visini od 42 m od M.T. (pos. 0 i 6). Odnosno 25 m iznad vrha Zvonika.

VRMS vrednosti registrovane tokom horizontalnog leta pokazuju (sl.15, sl. 16) da vrednosti polja imaju maksimalne vrednosti u fazama leta od tačaka 1 do 2 (70.s., 184 mV), oko pozicije 4 do 5 kao i tokom sletanja, pozicije 5 do 6. Sa slike 15 jasno se vidi da ovi delovi trajektorije odgovaraju oblastima iznad vrha, odnosno najviših tačaka „Zvonika“, na visini od 42 do 50 m od nivoa M.T. (Pozicija 0 i 6) odnosno 25 do 33 m iznad vrha Zvonika. Isto tako, vidi se da VRMS vrednosti u ovoj ravni opadaju u pravcu severa (170 mV), i u pravcu zapada (150 mV) a posebno u pravcu juga (100 mV).

Sintezom registrovanih vrednosti i analizom raspodele intenziteta „E“ polja u vertikalnoj i horizontalnoj ravni (sl.15 i sl.16)) možemo zaključiti da energetsko polje iznad „Zvonika“ ima oblik izduženog, nepravilnog elipsoida sa najvećom gustinom energije u svom centru, na visini od oko 13 m iznad vrha „Zvonika“, blago nagnutog u smeru istoka (blisko tački 5, sl. 15), odnosno u pravcu „Pojačivača aure“.

Detaljniji podaci trajektorije leta i registrovanih vrednosti (GPS koordinate, visina, brzina, udaljenost M.T., vreme leta, VRMS na konkretnim pozicijama, komentari), za ovu lokaciju dati su u prilogu 4.



Sl.16 3D struktura "E" polja na "Zvoniku".

Završna razmatranja

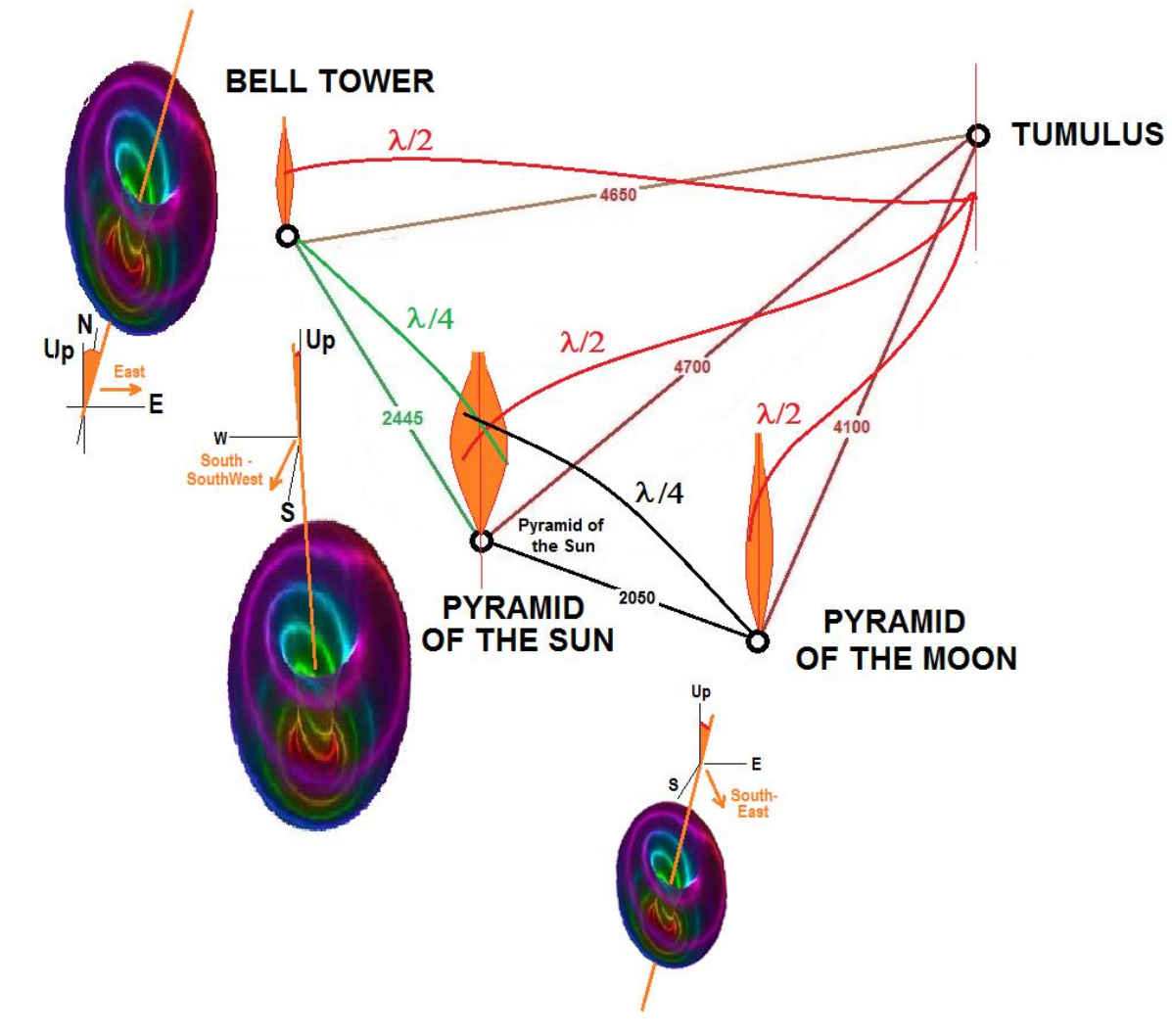
Kao i u prethodnim istraživačkim misijama, i provedenim istraživanjima u Arheološkom parku Bosanske piramide Sunca, uočena je korelativnost registrovanih vrednosti sa gabaritima, strukturom, geometrijom i topološkim parametrima pojedinih artefakata ovog lokaliteta ali i odredjena pravilnost u okviru celine čime ovaj kompleks dobija mnogo veći smisao – kao jedinstvena, funkcionalna celina (detaljnije izloženo u odeljku "Topologija AP BPS i elektromagnetizam [3] !

3D struktura energetskih polja iznad lokacija 1-Bosanska piramida Sunca, 3-Bosanska piramida Meseca i 4-Zvonik, imaju sličnu konfiguraciju analognu pojmu skalarnog polja, oblika izduženog elipsoida sa maksimalnom gustinom na visini od 21.3, 25 i 13 m respektivno. "Energetski elipsoidi" Zvonika koji je severno od Piramide Sunca i Piramide Meseca koja je južno od Piramide Sunca blago su nagnute u smeru ka Tumulusu dok je Energetski elipsoid Piramide Sunca nagnut "suprotno" od Tumulusa kako je to ilustrovano na sl. 17.

Imajući u vidu njihov realan topološki raspored (sl.17), očito je i u ovom slučaju postojanje izvesne pravilnosti i simetrije po principima sasvim analognim onima koji su izloženi u već pomenutom odeljku "Topologija AP BPS i elektromagnetizam [3]. Naime, iskazana "valovitost" po intenzitetu i orientaciji u terminologiji talasne mehanike odgovarala bi pojmovima afirmativno interferentnih procesa odnosno "slaganja" amplitude i faze pojedinih energetskih polja i konstituisanje "3D Stojecog talasa" odnosno složenog Skalarnog (torzionog, axionskog, spinorskog, mikroleptonskog ...) polja što kvalitativno nadopunjuje ideju o APBPS kao analogiji "3D-Jagi-dipola" iznetoj u [3] ...

Podaci trajektorije leta i registrovanih vrednosti (GPS koordinate, visina, brzina, udaljenost M.T., vreme leta, VRMS na konkretnim pozicijama, komentari), relevantni za ovaj rad dati su u prilozima 1-4. Izvorni podaci sadržani su u originalnim Excell tabelama sa preko 5000 zapisa po lokaciji i brojnim dodatnim parametrima (stanje baterija ...) su u bazi podataka dron navigatora: Marko Panček (Slovenija) i Stjepan Matijević (Hrvatska) [2].

Wave mechanics in APBPS



Sl.17. Talasna mehanika u AP BPS

Zaključak:

Na osnovu ranije izvršenih teorijskih i praktičnih istraživanja kao i izvršenih merenja ukazali smo u našim prethodnim radovima [3,4] na duboku vezu, analogiju i numeričku saglasnost fizičkih parametara brda "Visočica" (virtuelna i realna visina ...), odnosno "Bosanske piramide Sunca" sa parametrima zračenja frekvencije 28 kHz, registrovanog na tom objektu od strane više istraživačkih timova, očekujućim vrednostima po Modelu KGE [6] i - sa merenjima Nikole Tesle [5]!

Merenja izvršena tokom prethodne istraživačke misije [3] ukazala su na duboku vezu realnih, fizičkih, geometrijskih i topoloških parametara objekata AP BPS sa parametrima registrovanih EM zračenja, magnetotelurskih signala i suptilno-energetskih fenomena. Iznete činjenice umanjuju mogućnost stohastičkog karaktera analiziranih objekata ili – drugim rečima – da su konstrukcija i struktura objekata u AP BPS rezultat isključivo prirodnih, geoloških, klimatskih i sličnih procesa, nego naprotiv – da su oblik, struktura i raspored objekata najverovatnije rezultat uticaja drevne napredne tehnologije.

Dakle, sudeći po REALNOJ strukturi AP BPS, stvarnom rasporedu objekata i njihovoj međusobnoj udaljenosti, konroverzni "energetic beam", odnosno "energetski snop" koji emituje (konstituiše) Piramida sunca - nije rezultat samo geometrije i strukture tog objekta [5], nego i rezultat CELOKUPNE STRUKTURE i konkretnog rasporeda objekata i njihovog položaja na mestima gde oni zaista i jesu.

Analiza merenja 3D strukture energetskih polja u ovoj misiji ukazala je na sasvim nekonvencionalnu raspodelu gustine energije "E" polja iznad objekata na lokacijama 1-Bosanska piramida Sunca, 3-Bosanska piramida Meseca i 4-Zvonik koja ima "višeslojnu" (multileyered) elipsoidnu energetsku strukturu

karakterističnu za prisustvo „Torzionih polja“ [8], koja ih “konstituišu” u sferoidne energetske strukture, tj. skalarne talase odnosno 3-dimenzionalne stoeće (ili sporo pokretne) talase vrlo specifičnih svojstava i osobina propagacije. Generalno, torziona polja su fenomeni ne-elektromagnetskog i ne-gravitacionog tipa, propagiraju nadsvetlosnim brzinama (oko milijardu puta brže od svetlosti), utiču na gravitaciju, na bio strukture i poseduju (N.A Kozyrev, K.Volkamer,...) elementarnu svesnost !!!

Više o tome šta su piramide, vrtlozi energije, skalarna polja, ..., dato je u [9] i Prilogu 5.

Naglašavamo da su merenja tokom ovih istraživanja vršena isključivo opremom navedenom u spisku Merne opreme za snimanje “E” polja u prostoru opremom pod rbr. 4,5 i 6, dakle konvencionalnom opremom za merenje EM fenomena. **Zbog toga se dobijeni rezultati ne mogu ignorisati. Obzirom na to i osobine torzionih polja koja konstituišu fenomen “prostornih” ili “zapreminskih” polja, odnosno “3D Stoećih talasa” registrovanih tokom ovih istraživanja čine kompleks AP BPS više nego interesantnim za dalja istraživanja.**

U ovoj, “Laboratoriju Prirode”, bogatoj suptilno energetskim fenomenima , proteklih su godina već registrovani brojni kontroverzni fizičko-fiziološki efekti od strane niza brojnih istraživača širokog spektra specijalnosti ali naša istraživanja zasnovana na naučnoj metodologiji i merenjima konvencionalnim mernim uredajima ukazala je na punu matematičku i principijelnu saglasnost sa važećim teorijama ali isto tako i najnovijim uvidima savremene nauke [8] i naravno Teslinim tehnologijama [7], odnosno Principima Prirode što bi trebao biti poticaj za nova istraživanja, teorijska i praktična ali i slobodoumna razmišljanja koja bi možda mogla dovesti do novih otkrića i napretka naše civilizacije.

Beograd, 31.10.2016.

Goran Marjanovic, dipl.ing

Reference:

[1] GEOLOGICAL SURVEY..., Herbert A. Pierce and Donald B. Hoover, pubs.usgs.gov/of/1988/0668/report.pdf

[2] Letelica: Inspire1, dron navigator: Marko Panček (Slovenija), - navigacija bespilotne letelice, - aerijalna foto i video snimanja, - fotografije 360 stepeni iz vazduha, asistent dron navigatora: Stjepan Matijević (Hrvatska) - fotografije 360 stepeni sa zemlje.

Koordinator projekta Saša Nađfeji (Srbija) - foto i video snimanja sistemom polikontrastne interferentne fotografije-videozografija.

<https://roundme.com/tour/76789/view/201392/>

[3] <http://piramidasunca.ba/bs/aktuelnosti/item/11008-%C4%8Dudo-u-visokom-elektronom-agnetizam-i-topografija-bosanske-doline-piramida.html>

[4] Pyramids - guardians of primary cosmic vibration of the local densities, <http://piramidasunca.ba/eng/latest-news/item/7853-pyramids-guardians-of-primary-cosmic-vibration-of-the-local-densities.html>

[5] Analogy of Tesla's measurements , expected values by the KGE model and measurement results on Visočica, TESLA, SPACE-TIME AND BOSNIAN PYRAMID OF THE SUN, <https://www.scribd.com/document/203964613/Tesla-Space-Time>

[6] Energy Density Quantization model, <http://users.beotel.net/~gmarjanovic/index.html>

[7] Nikola Tesla - Prometheus of the New age, <http://piramidasunca.ba/eng/latest-news/item/10078-nikola-tesla-prometheus-of-the-new-age.html>

[8] A.E. Akimov, G.I. Shipov, "Torsion Fields and Their Experimental Manifestation," Proc. of the Internat. Scientific Conf. on New Ideas in Natural Science, St.-Petersburg, Russia, June 1996.

[9] Ken Rohla Talks Pyramid Power, <https://www.youtube.com/watch?v=NUkKBEOFpqw>

Prilog 1

Rbr.Baza	latitude	longitude	altitude(feet)	ascent(feet)	speed(mph)	distance(feet)	time(millisecond)	datetime(utc)	Vrms[mV]	Position	Comment
1	439.767.026.194.365	181.763.287.531.743	24.288.074.140.079	0	0	0	0	27.7.2016 17:25	150	0	Measuring Point
89	439.766.974.255.535	181.763.197.121.978	24.393.061.020.079	10.498.688	0.447388	303.737.214.444	10000	27.7.2016 17:26	158		Takeoff
177	439.766.899.053.804	181.762.694.166.618	24.862.221.140.079	574.147	0.447388	162.549.545.884	20000	27.7.2016 17:26	180		
264	439.766.905.681.507	181.762.299.514.098	25.606.971.820.079	131.889.768	0	263.107.619.968	30000	27.7.2016 17:26	162		Horizontal flight
287	439.766.909.455.443	181.762.297.395.667	25.688.992.820.079	140.091.868	0	263.429.798.456	32700	27.7.2016 17:26	1	Above M.P.	
348	439.768.350.808.831	181.761.799.129.197	25.682.431.140.079	1.394.357	68.002.976	62.151.248.708	40000	27.7.2016 17:26	150		Horizontal flight
438	439.770.338.140.536	181.760.531.548.447	25.685.711.980.079	139.763.784	5.816.044	14.084.482.078	50000	27.7.2016 17:26	158		
454	439.770.507.031.452	181.760.405.102.003	25.682.431.140.079	1.394.357	0.7158208	147.837.275.072	52100	27.7.2016 17:26	146	2	Max. Latitud.
525	439.768.987.152.559	181.760.818.226.002	25.695.554.500.079	140.748.036	74.266.408	96.550.528.024	60000	27.7.2016 17:26			Above M.P.
580	439.767.024.687.354	181.761.165.913.639	25.685.711.980.079	139.763.784	8.388.525	5.570.374.194	66400	27.7.2016 17:27	140		
611	439.765.743.522.634	181.761.546.179.113	25.682.431.140.079	1.394.357	85.227.414	65.424.542.776	70000	27.7.2016 17:27			Min. Latitud.
698	439.762.533.717.684	181.763.105.858.983	25.682.431.140.079	1.394.357	71.134.692	163.977.039.368	80000	27.7.2016 17:27	144		
730	439.762.089.413.464	181.763.467.725.916	25.682.431.140.079	1.394.357	0	180.180.123.876	83600	27.7.2016 17:27	156	3	
785	439.762.917.385.556	181.761.577.653.964	25.669.307.780.079	138.123.364	106.030.956	156.487.537.816	90000	27.7.2016 17:27			Above M.P.
873	439.764.247.080.803	181.756.679.526.605	25.669.307.780.079	138.123.364	87.016.966	200.952.762.336	100000	27.7.2016 17:27	160		
959	439.764.648.090.382	181.752.085.586.475	25.685.711.980.079	139.763.784	41.159.696	306.643.054.432	110000	27.7.2016 17:27	161		Min. Longit.
987	439.764.565.110.799	181.751.778.535.923	25.666.026.940.079	13.779.528	0	315.232.621.636	113100	27.7.2016 17:27	158	4	
1045	439.764.811.812.358	181.753.085.841.139	25.705.397.020.079	141.732.288	5.368.656	279.769.037.824	120000	27.7.2016 17:27			Above M.P.
1132	439.765.575.896.591	181.755.991.433.221	25.695.554.500.079	140.748.036	51.002.232	198.735.898.748	130000	27.7.2016 17:28	158		
1218	43.976.601.533.858	181.759.472.185.465	25.662.746.100.079	137.467.196	7.605.596	10.674.705.066	140000	27.7.2016 17:28			Above M.P.
1298	439.766.978.023.749	181.762.536.184.573	25.682.431.140.079	1.394.357	48.988.986	198.050.203.188	150000	27.7.2016 17:28			
1320	439.767.167.095.144	181.763.302.050.172	25.682.431.140.079	1.394.357	58.607.828	5.154.855.808	152500	27.7.2016 17:28			Above M.P.
1385	439.767.810.922.503	18.176.581.283.296	25.672.588.620.079	138.451.448	6.598.973	72.220.146.668	160000	27.7.2016 17:28			
1456	439.768.417.238.558	181.767.623.781.588	25.679.150.300.079	139.107.616	0.447388	124.649.610.288	168500	27.7.2016 17:28	5	Max.Longit.	Landing
1471	4.397.685.387.701	181.767.535.302.962	25.688.992.820.079	140.091.868	35.343.652	124.433.731.016	170000	27.7.2016 17:28			
1556	439.768.761.372.685	181.764.940.629.096	25.610.252.660.079	132.217.852	22.816.788	76.757.220.304	180000	27.7.2016 17:28			Above M.P.
1625	439.768.753.732.746	181.764.171.288.782	25.544.635.860.079	125.656.172	46.080.964	67.164.372.228	188000	27.7.2016 17:29			
1723	439.767.980.817.011	181.762.816.591.636	25.255.921.940.079	9.678.478	34.896.264	36.958.990.684	200000	27.7.2016 17:29			Landed
1807	439.767.147.073.799	181.762.483.549.672	25.032.824.820.079	74.475.068	0.8052984	21.564.633.236	210000	27.7.2016 17:29			
1812	439.767.136.984.917	181.762.473.692.108	25.016.420.620.079	72.834.648	0	217.466.542.392	210600	27.7.2016 17:29			Landed
1892	439.767.017.635.991	181.762.632.745.145	24.734.268.380.079	44.619.424	16.329.662	171.944.887.392	220000	27.7.2016 17:29			
1980	439.767.110.789.085	181.763.029.325.177	24.432.431.100.079	14.435.696	0.223694	7.448.819.136	230000	27.7.2016 17:29			End
2067	439.767.100.945.629	181.763.237.405.828	24.281.512.460.079	-0.656168	0	30.282.317.242	240000	27.7.2016 17:29			
2087	439.767.087.868.562	181.763.232.800.476	24.261.827.420.079	-2.624.672	0	266.987.869.436	242300	27.7.2016 17:29			End

Prilog 2

Rbr.Baza	latitude	longitude	altitude(feet)	ascent(feet)	speed(mph)	distance(feet)	time(millisecond)	datetime(utc)	Vrms	Position	Comment
1	44.008.020.542.967	182.155.932.621.408	15.875.601.088.728	0	0	0	0	27.7.2016 21:21	148,00	0	Measuring Point
87	44.008.017.723.732	182.155.866.262.624	16.036.362.248.728	16.076.116	0.447388	20.224.574.138	10000	27.7.2016 21:21	143,00		Takeoff
176	440.080.149.831.325	182.155.850.071.235	16.610.509.248.728	73.490.816	0	296.772.975.376	20000	27.7.2016 21:21	144,00		
253	440.080.161.081.247	18.215.585.256.608	17.263.396.408.728	138.779.532	0.3131716	265.166.675.152	29000	27.7.2016 21:21		1	Above M.P.
261	440.080.152.987.537	182.155.825.805.768	17.260.115.568.728	138.451.448	0.223694	33.937.665.128	30000	27.7.2016 21:21	139,00		Horizontalni let
347	440.081.515.521.429	182.152.998.800.555	17.253.553.888.728	13.779.528	80.753.534	90.619.097.388	40000	27.7.2016 21:21	133,00		
431	440.082.729.704.351	182.150.485.998.294	17.276.519.768.728	140.091.868	16.105.968	170.030.189.168	50000	27.7.2016 21:22	123,00		Min. Longit.
480	440.083.733.354.514	182.149.663.745.595	17.276.519.768.728	140.091.868	78.516.594	208.876.975.188	55700	27.7.2016 21:22	2		
519	44.008.478.517.532	182.149.895.978.561	17.250.273.048.728	137.467.196	64.200.178	230.246.398.444	60000	27.7.2016 21:22	136,00		Above M.P.
606	440.086.702.197.014	182.152.227.115.269	17.263.396.408.728	138.779.532	72.924.244	256.203.748.356	70000	27.7.2016 21:22	118,00		
688	440.087.630.398.868	182.155.438.530.609	17.263.396.408.728	138.779.532	8.052.984	271.209.654.348	79300	27.7.2016 21:22		3	Max. Latitud.
694	440.087.623.950.134	182.155.750.136.075	17.263.396.408.728	138.779.532	782.929	270.706.701.576	80000	27.7.2016 21:22	128,00		Landing
779	440.087.513.989.415	182.159.770.513.906	17.283.081.448.728	140.748.036	91.490.846	285.037.410.696	90000	27.7.2016 21:22	147,00		
867	440.086.214.210.232	182.164.096.848.341	17.256.834.728.728	138.123.364	8.276.678	30.653.052.162	100000	27.7.2016 21:22	178,00		End
916	440.085.498.501.166	182.166.061.746.359	17.260.115.568.728	138.451.448	559.235	32.854.987.928	105700	27.7.2016 21:22		4	
955	440.084.855.690.445	182.164.903.349.858	17.250.273.048.728	137.467.196	82.095.698	290.174.878.052	110000	27.7.2016 21:23	166,00		Above M.P.
1040	440.082.253.175.365	182.162.448.288.366	17.260.115.568.728	138.451.448	80.977.228	18.659.121.332	120000	27.7.2016 21:23	143,00		
1127	440.079.069.265.282	182.164.109.571.233	17.250.273.048.728	137.467.196	78.740.288	21.854.331.408	130000	27.7.2016 21:23	162,00		Above M.P.
1193	440.077.112.856.184	182.163.889.057.712	17.237.149.688.728	13.615.486	49.436.374	237.327.107.332	137500	27.7.2016 21:23		5	
1214	440.077.349.285.992	182.163.080.516.073	17.263.396.408.728	138.779.532	671.082	214.574.481.932	140000	27.7.2016 21:23	116,00		Landing
1302	440.079.522.480.774	182.159.963.021.506	17.217.464.648.728	134.186.356	60.173.686	108.659.452.296	150000	27.7.2016 21:23	116,00		
1346	440.080.184.939.995	182.158.967.373.456	17.033.737.608.728	115.813.652	41.159.696	79.640.094.412	154900	27.7.2016 21:23		6	Above M.P.
1399	440.080.616.910.995	182.158.368.536.279	16.827.044.688.728	9.514.436	18.342.908	65.661.419.424	160000	27.7.2016 21:			

Prilog 3

Rbr.Baza	latitude	longitude	altitude(feet)	ascent(feet)	speed(mph)	distance(feet)	time(millisecond)	datetime(utc)	Vrms	Position	Comment
1	43.9726.060.428.124	182.028.161.606.217	21.173.486.861.935	0	0	0	0	10.9.2016 11:35	115,00	0	Measuring Point
85	43.972.600.993.458	182.028.052.316.656	21.288.316.261.935	1.148.294	0.223694	3.410.105.096	10000	10.9.2016 11:35	113,00		Takeoff
163	43.975.774.267.098	182.027.908.795.804	22.000.258.541.935	82.677.168	17.000.744	123.721.460.652	20000	10.9.2016 11:36	61,00		
229	43.975.228.377.768	182.027.830.034.757	22.548.158.821.935	137.467.196	0	315.810.705.644	27600	10.9.2016 11:36		1	Above M.P.
250	43.972.521.332.027	182.027.736.149.029	22.544.877.981.935	137.139.112	18.119.214	32.863.518.112	30000	10.9.2016 11:36	83,00		Horizontal flight
338	43.972.622.825.979	182.025.932.954.108	22.544.877.981.935	137.139.112	2.908.022	78.583.992.016	40000	10.9.2016 11:36	91,00		
418	43.973.888.206.542	182.023.117.574.245	22.541.597.141.935	136.811.028	61.068.462	15.434.383.696	50000	10.9.2016 11:36	103,00		Horizontal flight
501	43.972.303.015.007	182.020.408.614.747	22.548.158.821.935	137.467.196	0.6263432	231.657.159.644	60000	10.9.2016 11:36	104,00		
512	43.973.034.991.162	182.020.441.918.184	22.548.158.821.935	137.467.196	20.579.848	230.804.797.412	61200	10.9.2016 11:36		2	Min. Longit.
586	43.973.907.742.461	182.024.338.295.724	22.548.158.821.935	137.467.196	12.526.864	127.462.602.504	70000	10.9.2016 11:36	105,00		Above M.P.
665	43.974.877.206.334	182.030.461.642.179	22.541.597.141.935	136.811.028	130.413.602	74.235.238.596	80000	10.9.2016 11:37	105,00		
734	43.972.017.664.672	182.036.709.194.541	22.541.597.141.935	136.811.028	142.940.466	224.440.952.064	88000	10.9.2016 11:37			Above M.P.
751	43.972.368.285.477	182.038.093.655.632	22.541.597.141.935	136.811.028	113.860.246	261.053.486.044	90000	10.9.2016 11:37	100,00		
791	43.972.721.056.742	182.038.667.144.924	22.541.597.141.935	136.811.028	2.908.022	276.896.662.404	94700	10.9.2016 11:37		3	Max. Longit.
838	43.972.646.954.077	18.203.652.348.761	22.548.158.821.935	137.467.196	104.912.486	220.066.280.008	100000	10.9.2016 11:37	97,00		Above M.P.
874	43.972.083.143.216	182.034.109.526.591	22.541.597.141.935	136.811.028	104.241.404	15.617.782.652	104100	10.9.2016 11:37			
923	43.972.274.392.157	182.030.848.996.109	22.528.473.781.935	135.498.692	103.122.934	76.168.637.608	110000	10.9.2016 11:37	125,00		Above M.P.
1009	43.972.421.726.471	18.202.762.356.903	22.558.001.341.935	138.451.448	0	6.871.555.338	120000	10.9.2016 11:37	107,00		
1094	43.972.241.107.677	18.029.574.178.276	22.564.563.021.935	139.107.616	91.043.458	14.419.947.968	130000	10.9.2016 11:37	164,00		Above M.P.
1176	43.971.210.156.739	182.031.691.486.427	22.558.001.341.935	138.451.448	78.516.594	30.104.003.588	140000	10.9.2016 11:38	143,00		
1207	43.971.777.937.401	182.031.992.082.673	22.535.035.461.935	13.615.486	0	318.484.590.244	143600	10.9.2016 11:38		4	Min. Latitud.
1263	43.971.836.583.053	182.031.213.440.662	22.584.248.061.935	14.107.612	88.135.436	27.547.409.018	150000	10.9.2016 11:38	140,00		Above M.P.
1346	43.972.639.567.641	182.028.450.577.946	22.548.158.821.935	137.467.196	104.241.404	125.040.358.332	160000	10.9.2016 11:38	97,00		
1414	43.972.518.403.566	182.026.002.848.657	22.558.001.341.935	138.451.448	129.966.214	57.366.471.652	168000	10.9.2016 11:38			Above M.P.
1431	43.972.757.913.508	182.025.356.394.483	22.558.001.341.935	138.451.448	127.281.886	77.929.136.352	170000	10.9.2016 11:38	97,00		
1518	43.973.620.199.854	182.023.438.634.545	22.551.439.661.935	13.779.528	89.253.906	207.498.038.136	180000	10.9.2016 11:38	98,00		Above M.P.
1553	43.973.197.683.021	182.023.059.938.964	22.525.192.941.935	135.170.608	0.447388	230.379.600.548	184000	10.9.2016 11:38		5	Max. Latitud.
1607	43.973.002.185.453	182.023.461.770.219	22.561.282.181.935	138.779.532	86.345.884	189.502.630.736	190000	10.9.2016 11:38	107,00		Landing
1687	43.972.607.820.699	18.202.253.089.482	22.272.568.261.935	10.990.814	78.963.982	7.751.968.752	200000	10.9.2016 11:39	152,00		
1704	43.972.075.749.619	182.025.793.278.442	22.183.985.581.935	101.049.872	56.370.888	62.187.994.116	202300	10.9.2016 11:39		6	Above M.P.
1771	43.972.559.947.638	182.025.109.878.908	22.026.505.261.935	8.530.184	111.847	82.184.057.748	210000	10.9.2016 11:39	173,00		Above M.P.
1858	43.972.362.090.163	182.026.371.005.311	21.869.024.941.935	69.553.808	4.026.492	5.347.605.158	220000	10.9.2016 11:39	103,00		
1941	43.972.955.829.603	182.027.259.800.109	21.511.413.381.935	33.792.652	23.711.564	239.844.495.864	230000	10.9.2016 11:39	92,00		Landing
2027	43.972.063.046.662	182.027.601.273.887	21.367.056.421.935	19.356.956	0.8052984	147.130.582.136	240000	10.9.2016 11:39	95,00		
2111	43.972.092.776.501	182.027.681.103.173	21.340.809.701.935	16.732.284	1.342.164	12.671.752.374	250000	10.9.2016 11:39	61,00		Above M.P.
2199	43.972.216.194.690.449	182.027.892.709.382	21.258.788.701.935	8.530.184	0.223694	85.933.729.784	260000	10.9.2016 11:40	50,00		
2240	43.972.114.933.493	182.027.964.120.613	21.229.261.141.935	5.577.428	0	55.536.747.184	265200	10.9.2016 11:40		7	Landed
2283	43.972.108.823.939	18.202.795.107.534	21.176.767.701.935	0.328084	0	58.030.841.752	270000	10.9.2016 11:40	61,00		End
2344	43.972.143.935.869	182.027.966.073.734	21.163.644.341.935	-0.984252	0	59.701.117.396	277100	10.9.2016 11:40	59,00		

Prilog 4

Rbr.Baza	latitude	longitude	altitude(feet)	ascent(feet)	speed(mph)	distance(feet)	time(millisecond)	datetime(utc)	Vrms	Position	Comment
1	43.947.368.228.344	181.587.718.034.666	15.492.646.519.387	0	0	0	0	11.9.2016 8:01	646 (me)	0	Measuring Point
88	43.947.201.247.295	181.587.406.591.205	15.554.982.479.387	6.233.596	11.408.394	101.950.790.664	10000	11.9.2016 8:01	644 (me)		Takeoff
170	43.946.902.247.344	181.587.692.116.173	15.778.079.599.387	28.543.308	34.225.182	170.148.955.576	20000	11.9.2016 8:02	106,00		
255	43.946.614.865.932	181.587.879.603.407	15.833.853.879.387	34.120.736	0	278.116.150.632	30000	11.9.2016 8:02	111,00		Horizontal flight
341	43.946.415.677.602	181.587.532.026.149	16.303.013.999.387	81.036.748	16.105.968	3.509.514.548	40000	11.9.2016 8:02	150,00		
419	43.946.217.445.446	181.587.066.015.453	16.913.250.239.387	142.060.372	0.9171454	45.340.224.548	48700	11.9.2016 8:02		1	Above M.P./Max.Lon.
430	43.946.192.900.862	181.587.043.363.543	16.916.531.079.387	142.388.456	0.223694	4.639.435.844	50000	11.9.2016 8:02	202,00		Above M.P.
512	43.944.820.370.099	181.584.428.890.585	16.900.126.879.387	140.748.036	64.423.872	126.863.849.204	60000	11.9.2016 8:02	163,00		
594	43.943.660.217.419	181.582.128.933.724	16.946.058.639.387	145.341.212	111.847	199.557.749.168	70000	11.9.2016 8:02	184,00		Above M.P.
678	43.943.142.622.672	181.580.748.622.254	17.123.223.999.387	163.057.748	12.750.558	239.231.963.036	80000	11.9.2016 8:03	150,00		
696	43.943.036.237.627	181.580.665.546.928	17.106.819.799.387	161.417.328	1.342.164	2.434.055.196	82000	11.9.2016 8:03		2	Min. Longit.
765	43.943.480.598.241	181.582.166.168.987	17.113.381.479.387	162.073.496	48.317.904	203.355.977.636	90000	11.9.2016 8:03	140,00		Above M.P.
853	43.942.590.808.621	181.583.375.487.277	17.129.785.679.387	163.713.916	100.438.606	208.263.130.024	100000	11.9.2016 8:03	141,00		
938	43.938.701.637.296	181.584.592.982.401	17.129.785.679.387	163.713.916	87.464.354	326.666.020.952	110000	11.9.2016 8:03	109,00		Above M.P.
992	43.937.316.455.612	18.158.413.752.524	17.110.100.639.387	161.745.412	1.342.164	37.858.925.096	116200	11.9.2016 8:03		3	Min. Latitud.
1023	43.937.590.977.841	181.584.118.213.725	17.123.223.999.387	163.057.748	50.107.456	36.902.232.152	120000	11.9.2016 8:03	88,00		Above M.P.
1101	43.939.763.489.356	181.583.774.044.649	17.129.785.679.387	163.713.916	447.388	296.141.085.592	130000	11.9.2016 8:03	105,00		
1188	43.942.364.458.049	181.583.412.988.113	17.113.381.479.387	162.073.496	57.936.						

Prilog 5

"Ken Rohla govori o moći piramide!"

(Početak u 00 minuta 59 sekundi)

<https://www.youtube.com/watch?v=NUkKBEOFpqw>

Ken Rohla: "Piramida, je antena koja skuplja energiju visoke frekvencije koja dolazi iz kosmosa, koncentriše je i stvara lokalno polje koje stvara vrtlog energije kroz vrh. Ta vrsta energije je super-visoke frekvencije, toliko visoke da se ne može meriti konvencionalnim mernim uređajima elektromagnetne energije. Zbog toga će mnogi konvencionalni naučnici reći da je to glupost..."

"Ipak, to nije tako. To je vrsta energije na čije postojanje ukazuju naučnici poput dr Konstantina Meyla u Njemačkoj. Oni pokazuju da je ova energija samo super-visoke frekvencije. To je inter-dimenzionalna energija, što znači da može putovati kroz više dimenzija ili frekvencija prostor-vremena.

"Dakle, dovoljno je reći da je to suptilna energija veoma slična ljudskoj svijesti. U stvari, svijest je oblik skalarne energije, i može putovati kroz dimenzije vremena i prostora.

"I tako ona dolazi do nas kroz kosmos polazeći iz centara galaksija, i verovatno kreće iz centra univerzuma. Na kraju krajeva, mislim da je to ono što bismo mogli nazvati svijest Boga. Međutim, emanirana iz centra galaksija ona se sažima, tokom svog spiralnog kretanja kroz svemir, putujući brzinom daleko većom od brzine svjetlosti.

"Ona prolazi kroz materiju i konvencionalnu elektromagnetsku energiju kao da je nema, jer to je zapravo ono što stvara materiju i elektromagnetnu energiju. Ova skalarna energija, brža od svjetlosti, usporava i zgušnjava se u materiju i energiju koju vidimo svuda oko nas.

"Piramida može uhvatiti tu energiju i stvoriti od nje lokalizovano polje skalarnih talasa i elektromagnetne energije. Naučnici su merili električne struje na vrhovima piramide i druge vrste konvencionalno merljivih fenomena oko piramide. Ali onda je tu i skalarno polje koje potiče od ovih stvari, skalarno energetsko polje, i vrtlog skalarne energije koji izlazi iz vrha piramide. Rusi imaju tendenciju da ovu energiju nazvaju toroidalna energija ili vorteksna energija, torzioni valovi ili vrtložna energija. Međutim, kako god je nazivali, to je suptilna energija brža od svjetlosti.

"Dakle, piramida hvata ovu suptilnu energiju koja dolazi do nas iz kosmosa, a posebno iz našeg Sunca, ona dolazi iz centra zemlje, zato što je u središtu zemlje singularitet. Dakle, ta energija dolazi iz središte zemlje a piramida ju hvata kao antenu i iz vrha zrači lokalizovano polje i spiralni energetski vrtlog."